

Techniques et systèmes de communications
numériques sans-fil
(TS218)

Romain Tajan

Plan

- 1 Contexte
- 2 Synchronisation en phase / fréquence
- 3 Synchronisation temporelle / récupération du rythme

Signal émis

Expression du signal émis en **bande de base** :

$$s(t) = \sum_{m=-\infty}^{+\infty} a_m h(t - mT_s)$$

Expression du signal émis en **bande étroite** (ou bande transposée) :

$$\tilde{s}(t) = \text{Re} \left(s(t) e^{j2\pi f_c t} \right)$$

Notations

- a_m : **symboles complexes**,
- $s(t)$: **enveloppe complexe du signal émis**,
- T_s : **temps symbole**,
- $R_s = T_s^{-1}$: **débit symbole**,
- $h(t)$: **filtre de mise en forme à l'émission**, (filtre demi-Nyquist)
- f_c : **fréquence porteuse**.

Signal reçu dans le cas mono-trajet BBAG¹ :

$$\tilde{r}(t) = \operatorname{Re} \left(\sum_{m=-\infty}^{+\infty} a_m h(t - \tau - mT_s) e^{j2\pi f_c(t-\tau)} \right) + \tilde{w}(t)$$

On considère une **"imperfection"** au niveau du récepteur, il récupère le signal $r(t)$ tel que

$$\tilde{r}(t) = \operatorname{Re} \left(r(t) e^{j2\pi(f_c + \delta_f)t} \right)$$

1. Bruit Blanc Additif Gaussien

Signal reçu dans le cas mono-trajet BBAG¹ :

$$\tilde{r}(t) = \operatorname{Re} \left(\sum_{m=-\infty}^{+\infty} a_m h(t - \tau - mT_s) e^{j2\pi f_c(t-\tau)} \right) + \tilde{w}(t)$$

On considère une **"imperfection"** au niveau du récepteur, il récupère le signal $r(t)$ tel que

$$\begin{aligned} \tilde{r}(t) &= \operatorname{Re} \left(r(t) e^{j2\pi(f_c + \delta_f)t} \right) \\ &= \operatorname{Re} \left(r(t) e^{j2\pi\delta_f t} e^{j2\pi f_c t} \right) \end{aligned}$$

1. Bruit Blanc Additif Gaussien

Signal reçu dans le cas mono-trajet BBAG¹ :

$$\tilde{r}(t) = \operatorname{Re} \left(\sum_{m=-\infty}^{+\infty} a_m h(t - \tau - mT_s) e^{j2\pi f_c(t-\tau)} \right) + \tilde{w}(t)$$

On considère une **"imperfection"** au niveau du récepteur, il récupère le signal $r(t)$ tel que

$$\begin{aligned} \tilde{r}(t) &= \operatorname{Re} \left(r(t) e^{j2\pi(f_c + \delta_f)t} \right) \\ &= \operatorname{Re} \left(r(t) e^{j2\pi\delta_f t} e^{j2\pi f_c t} \right) \end{aligned}$$

$r(t)$ s'exprime donc comme suit :

$$\begin{aligned} r(t) &= \sum_{m=-\infty}^{+\infty} a_m h(t - \tau - mT_s) e^{j2\pi(\delta_f t - f_c \tau)} + w(t) \\ &= \sum_{m=-\infty}^{+\infty} a_m h(t - \tau - mT_s) e^{j2\pi\delta_f t + j\phi} + w(t) \end{aligned}$$

1. Bruit Blanc Additif Gaussien

Signal reçu bande de base dans le cas mono-trajet BBAG :

$$r(t) = \sum_{m=-\infty}^{+\infty} a_m h(t - \tau - mT_s) e^{j2\pi\delta_f t + j\phi} + w(t)$$

But : Récupérer l'information transmise (détection des symboles a_n)

Signal reçu bande de base dans le cas mono-trajet BBAG :

$$r(t) = \sum_{m=-\infty}^{+\infty} a_m h(t - \tau - mT_s) e^{j2\pi\delta_f t + j\phi} + w(t)$$

But : Récupérer l'information transmise (détection des symboles a_n)

Problème : Les paramètres $\mathbf{p} = [\phi, \tau, T_s, \delta_f]$ sont inconnus ...

Signal reçu bande de base dans le cas mono-trajet BBAG :

$$r(t) = \sum_{m=-\infty}^{+\infty} a_m h(t - \tau - mT_s) e^{j2\pi\delta_f t + j\phi} + w(t)$$

But : Récupérer l'information transmise (détection des symboles a_n)

Problème : Les paramètres $\mathbf{p} = [\phi, \tau, T_s, \delta_f]$ sont inconnus ...

- ϕ : Déphasage entre oscillateurs aux émetteur/récepteur
⇒ **Synchronisation en phase**

Signal reçu bande de base dans le cas mono-trajet BBAG :

$$r(t) = \sum_{m=-\infty}^{+\infty} a_m h(t - \tau - mT_s) e^{j2\pi\delta_f t + j\phi} + w(t)$$

But : Récupérer l'information transmise (détection des symboles a_n)

Problème : Les paramètres $\mathbf{p} = [\phi, \tau, T_s, \delta_f]$ sont inconnus ...

- ϕ : Déphasage entre oscillateurs aux émetteur/récepteur
⇒ **Synchronisation en phase**
- τ : Temps de propagation du signal
⇒ **Synchronisation en temps**

Signal reçu bande de base dans le cas mono-trajet BBAG :

$$r(t) = \sum_{m=-\infty}^{+\infty} a_m h(t - \tau - mT_s) e^{j2\pi\delta_f t + j\phi} + w(t)$$

But : Récupérer l'information transmise (détection des symboles a_n)

Problème : Les paramètres $\mathbf{p} = [\phi, \tau, T_s, \delta_f]$ sont inconnus ...

- ϕ : Déphasage entre oscillateurs aux émetteur/récepteur
⇒ **Synchronisation en phase**
- τ : Temps de propagation du signal
⇒ **Synchronisation en temps**
- T_s : Rythme symbole
⇒ **Synchronisation du rythme**

Signal reçu bande de base dans le cas mono-trajet BBAG :

$$r(t) = \sum_{m=-\infty}^{+\infty} a_m h(t - \tau - mT_s) e^{j2\pi\delta_f t + j\phi} + w(t)$$

But : Récupérer l'information transmise (détection des symboles a_n)

Problème : Les paramètres $\mathbf{p} = [\phi, \tau, T_s, \delta_f]$ sont inconnus ...

- ϕ : Déphasage entre oscillateurs aux émetteur/récepteur
⇒ **Synchronisation en phase**
- τ : Temps de propagation du signal
⇒ **Synchronisation en temps**
- T_s : Rythme symbole
⇒ **Synchronisation du rythme**
- δ_f : Décalage en fréquence (effet Doppler, différences f_c émetteur/récepteur)
⇒ **Synchronisation en fréquence**

Plan

- 1 Contexte
- 2 Synchronisation en phase / fréquence
- 3 Synchronisation temporelle / récupération du rythme

Plan

- 1 Contexte
- 2 Synchronisation en phase / fréquence
 - ▷ Contexte
 - ▷ Cas d'une porteuse non-modulée
 - ▷ Cas de la porteuse modulée
- 3 Synchronisation temporelle / récupération du rythme

Plan

- 1 Contexte
- 2 Synchronisation en phase / fréquence
 - ▷ Contexte
 - ▷ Cas d'une porteuse non-modulée
 - ▷ Cas de la porteuse modulée
- 3 Synchronisation temporelle / récupération du rythme

Problématique

- **Approche retenue pour la synchronisation**

- Estimations des paramètres $[\tau, T_s]$ et $[\phi, \delta_f]$ réalisées séparément
- Erreur sur $[\tau, T_s]$ négligée : **paramètres connus**

- **Autre approche possible**

- Estimations conjointe des paramètres $[\tau, T_s, \phi, \delta_f]$
- plus complexe, non abordé en cours

Avant de commencer ...

- Expression de $r(t)$

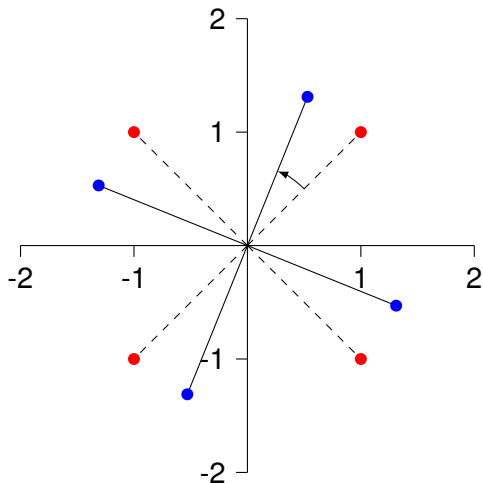
$$\begin{aligned}
 r(t) &= \sum_{m=-\infty}^{+\infty} a_m h(t - mT_s) e^{j2\pi\delta_f t + j\phi} + w(t) \\
 &= \sum_{m=-\infty}^{+\infty} a_m h(t - mT_s) e^{j\phi(t)} + w(t)
 \end{aligned}$$

- En supposant que $h(t)$ vérifie le critère de Nyquist, un décalage fréquentiel $\delta_f \ll T_s^{-1}$ et une transmission sans bruit.

Représenter la constellation $r_k = r(kT_s)$ pour des symboles 4-QAM dans les cas suivants :

- Déphasage constant $\phi(t) = \phi$
- Déphasage variant linéairement dans le temps $\phi(t) = 2\pi\delta_f t + \phi_0$

Déphasage constant



Déphasage variant linéairement dans le temps

Plan

- 1 Contexte
- 2 Synchronisation en phase / fréquence
 - ▷ Contexte
 - ▷ Cas d'une porteuse non-modulée
 - ▷ Cas de la porteuse modulée
- 3 Synchronisation temporelle / récupération du rythme

On se concentre ici sur le cas d'une porteuse non modulée (avec $s(t) = 1, \forall t \in \mathbb{R}$), le cas d'une porteuse modulée par un signal sera traité ensuite.

On se concentre ici sur le cas d'une porteuse non modulée (avec $s(t) = 1, \forall t \in \mathbb{R}$), le cas d'une porteuse modulée par un signal sera traité ensuite.

Expression de $r(t)$

$$r(t) = e^{j\phi(t)} + w(t) \quad \text{où} \quad \phi(t) = 2\pi\delta_f t + \phi_0.$$

→ **On veut estimer $\phi(t)$**

On se concentre ici sur le cas d'une porteuse non modulée (avec $s(t) = 1, \forall t \in \mathbb{R}$), le cas d'une porteuse modulée par un signal sera traité ensuite.

Expression de $r(t)$

$$r(t) = e^{j\phi(t)} + w(t) \quad \text{où} \quad \phi(t) = 2\pi\delta_f t + \phi_0.$$

→ On veut estimer $\phi(t)$

Expression de r_k (après échantillonnage de $r(t)$ avec une période T_e)

Sous l'hypothèse $\delta_f \in \left] \frac{-1}{2T_e}, \frac{1}{2T_e} \right[$ (non-repliement)

$$r_k = e^{j\phi_k} + w_k \quad \text{où} \quad \phi_k = 2\pi\delta_f k T_e + \phi_0.$$

→ On veut estimer ϕ_k

Hypothèse supplémentaire

- On fait l'hypothèse suivante :

$$\delta_f T_e \ll 1$$

⇒ $\phi_k \simeq \phi$, la variable ϕ est inconnue aussi

$$r_k = e^{j\phi} + w_k$$

Vecteur des observations : $\mathbf{r}_k = (r_0, r_1, \dots, r_k)$

Hypothèse supplémentaire

- On fait l'hypothèse suivante :

$$\delta_f T_e \ll 1$$

$\Rightarrow \phi_k \simeq \phi$, la variable ϕ est inconnue aussi

$$r_k = e^{j\phi} + w_k$$

Vecteur des observations : $\mathbf{r}_k = (r_0, r_1, \dots, r_k)$

Le canal étant ABBG et les échantillons de bruits iid $\mathcal{CN}(0, \sigma^2)$

$$p(\mathbf{r}_k | \phi) =$$

Hypothèse supplémentaire

- On fait l'hypothèse suivante :

$$\delta_f T_e \ll 1$$

$\Rightarrow \phi_k \simeq \phi$, la variable ϕ est inconnue aussi

$$r_k = e^{j\phi} + w_k$$

Vecteur des observations : $\mathbf{r}_k = (r_0, r_1, \dots, r_k)$

Le canal étant ABBG et les échantillons de bruits iid $\mathcal{CN}(0, \sigma^2)$

$$p(\mathbf{r}_k | \phi) = \prod_{n=0}^k \frac{1}{\sigma^2 \pi} \exp\left(-\frac{|r_n - e^{j\phi}|^2}{\sigma^2}\right)$$

Hypothèse supplémentaire

- On fait l'hypothèse suivante :

$$\delta_f T_e \ll 1$$

$\Rightarrow \phi_k \simeq \phi$, la variable ϕ est inconnue aussi

$$r_k = e^{j\phi} + w_k$$

Vecteur des observations : $\mathbf{r}_k = (r_0, r_1, \dots, r_k)$

Le canal étant ABBG et les échantillons de bruits iid $\mathcal{CN}(0, \sigma^2)$

$$p(\mathbf{r}_k | \phi) = \prod_{n=0}^k \frac{1}{\sigma^2 \pi} \exp\left(-\frac{|r_n - e^{j\phi}|^2}{\sigma^2}\right)$$

Devoir Maison - Estimation de ϕ par maximum de vraisemblance

$\hat{\phi}_k$ est la valeur de ϕ vérifiant $\frac{\partial}{\partial \phi} \ln(p(\mathbf{r}_k | \phi)) = 0$.

Hypothèse supplémentaire

- On fait l'hypothèse suivante :

$$\delta_f T_e \ll 1$$

$\Rightarrow \phi_k \simeq \phi$, la variable ϕ est inconnue aussi

$$r_k = e^{j\phi} + w_k$$

Vecteur des observations : $\mathbf{r}_k = (r_0, r_1, \dots, r_k)$

Le canal étant ABBG et les échantillons de bruits iid $\mathcal{CN}(0, \sigma^2)$

$$p(\mathbf{r}_k | \phi) = \prod_{n=0}^k \frac{1}{\sigma^2 \pi} \exp\left(-\frac{|r_n - e^{j\phi}|^2}{\sigma^2}\right)$$

Devoir Maison - Estimation de ϕ par maximum de vraisemblance

$\hat{\phi}_k$ est la valeur de ϕ vérifiant $\frac{\partial}{\partial \phi} \ln(p(\mathbf{r}_k | \phi)) = 0$.

Montrer que $\hat{\phi}_k = \arg\left(\sum_{n=0}^k r_n\right) \bmod \pi$

Calcul récursif du Maximum de vraisemblance

But : calculer $\hat{\phi}_K$ à partir de $\hat{\phi}_{K-1}$

↪ **Analyse à convergence**

Calcul récursif du Maximum de vraisemblance

But : calculer $\hat{\phi}_k$ à partir de $\hat{\phi}_{k-1}$

↪ **Analyse à convergence**

Quelque soit $k > 0$ on a

$$\sum_{n=0}^k \text{Im}(r_n e^{-j\hat{\phi}_k}) = 0$$

Calcul récursif du Maximum de vraisemblance

But : calculer $\hat{\phi}_k$ à partir de $\hat{\phi}_{k-1}$

↪ **Analyse à convergence**

Quelque soit $k > 0$ on a

$$\sum_{n=0}^k \text{Im}(r_n e^{-j\hat{\phi}_k}) = 0 = \sum_{n=0}^k \text{Im}(r_n e^{j(\hat{\phi}_{k-1} - \hat{\phi}_k) - j\hat{\phi}_{k-1}})$$

Calcul récursif du Maximum de vraisemblance

But : calculer $\hat{\phi}_k$ à partir de $\hat{\phi}_{k-1}$

↪ **Analyse à convergence**

Quelque soit $k > 0$ on a

$$\sum_{n=0}^k \text{Im}(r_n e^{-j\hat{\phi}_k}) = 0 = \sum_{n=0}^k \text{Im}(r_n e^{j(\hat{\phi}_{k-1} - \hat{\phi}_k) - j\hat{\phi}_{k-1}})$$

À convergence $|\hat{\phi}_k - \hat{\phi}_{k-1}| = \epsilon \ll 1 \Rightarrow \text{Im}(ze^{j\epsilon}) \sim \text{Im}(z) + \epsilon \text{Re}(z)$

Calcul récursif du Maximum de vraisemblance

But : calculer $\hat{\phi}_k$ à partir de $\hat{\phi}_{k-1}$

↪ **Analyse à convergence**

Quelque soit $k > 0$ on a

$$\sum_{n=0}^k \text{Im}(r_n e^{-j\hat{\phi}_k}) = 0 = \sum_{n=0}^k \text{Im}(r_n e^{j(\hat{\phi}_{k-1} - \hat{\phi}_k) - j\hat{\phi}_{k-1}})$$

À convergence $|\hat{\phi}_k - \hat{\phi}_{k-1}| = \epsilon \ll 1 \Rightarrow \text{Im}(ze^{j\epsilon}) \sim \text{Im}(z) + \epsilon \text{Re}(z)$

⇒ $\hat{\phi}_k$ **peut s'écrire récursivement** :

$$\hat{\phi}_k = \hat{\phi}_{k-1} + \mu_k \text{Im}(r_k e^{-j\hat{\phi}_{k-1}}) \quad \text{avec} \quad \mu_k^{-1} = \sum_{n=0}^k \text{Re}(r_n e^{-j\hat{\phi}_{k-1}})$$

Calcul récursif du Maximum de vraisemblance

But : calculer $\hat{\phi}_k$ à partir de $\hat{\phi}_{k-1}$

↪ **Analyse à convergence**

Quelque soit $k > 0$ on a

$$\sum_{n=0}^k \text{Im}(r_n e^{-j\hat{\phi}_k}) = 0 = \sum_{n=0}^k \text{Im}(r_n e^{j(\hat{\phi}_{k-1} - \hat{\phi}_k) - j\hat{\phi}_{k-1}})$$

À convergence $|\hat{\phi}_k - \hat{\phi}_{k-1}| = \epsilon \ll 1 \Rightarrow \text{Im}(ze^{j\epsilon}) \sim \text{Im}(z) + \epsilon \text{Re}(z)$

⇒ $\hat{\phi}_k$ **peut s'écrire récursivement** :

$$\hat{\phi}_k = \hat{\phi}_{k-1} + \mu_k \text{Im}(r_k e^{-j\hat{\phi}_{k-1}}) \quad \text{avec} \quad \mu_k^{-1} = \sum_{n=0}^k \text{Re}(r_n e^{-j\hat{\phi}_{k-1}})$$

Cette relation est parfois appelée **boucle à verrouillage de phase à temps discret**.

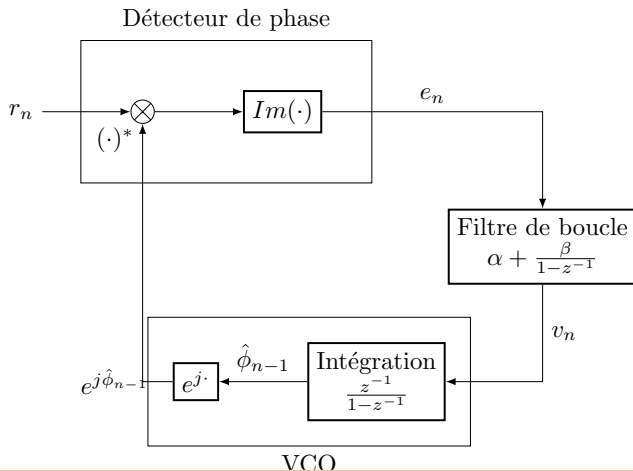
Ordre 1

$$\hat{\phi}_k = \hat{\phi}_{k-1} + \alpha \text{Im}(r_k e^{-j\hat{\phi}_{k-1}})$$

Ordre 2

$$\hat{\delta}_k = \hat{\delta}_{k-1} + \beta \text{Im}(r_k e^{-j\hat{\phi}_{k-1}})$$

$$\hat{\phi}_k = \hat{\phi}_{k-1} + \hat{\delta}_k + \alpha \text{Im}(r_k e^{-j\hat{\phi}_{k-1}})$$



Plan

- 1 Contexte
- 2 Synchronisation en phase / fréquence
 - ▷ Contexte
 - ▷ Cas d'une porteuse non-modulée
 - ▷ Cas de la porteuse modulée
- 3 Synchronisation temporelle / récupération du rythme

Dans notre cas, **la porteuse est modulée**

$$r(t) = \sum_{m=-\infty}^{+\infty} a_m h(t - mT_s) e^{j2\pi\phi(t)} + w(t)$$

⇒ **On ne peut pas utiliser directement la méthode précédente sur ce signal !**

Dans notre cas, **la porteuse est modulée**

$$r(t) = \sum_{m=-\infty}^{+\infty} a_m h(t - mT_s) e^{j2\pi\phi(t)} + w(t)$$

⇒ **On ne peut pas utiliser directement la méthode précédente sur ce signal !**

Les solutions proposées sont les suivantes :

- Boucle à quadrature
- Boucle avec séquence d'apprentissage
- Boucle à remodulation

- Cas de la modulations BPSK : $a_m \in \{1, -1\}$

Dans ce cas, après filtrage adapté et échantillonnage au temps T_s

$$r_n^2 = (a_n e^{j\phi_n} + w_n)^2$$

- Cas de la modulations BPSK : $a_m \in \{1, -1\}$

Dans ce cas, après filtrage adapté et échantillonnage au temps T_s

$$r_n^2 = (a_n e^{j\phi_n} + w_n)^2$$

D'où

$$r_n^2 = e^{2j\phi_n} + \tilde{w}_n$$

- Cas de la modulations BPSK : $a_m \in \{1, -1\}$

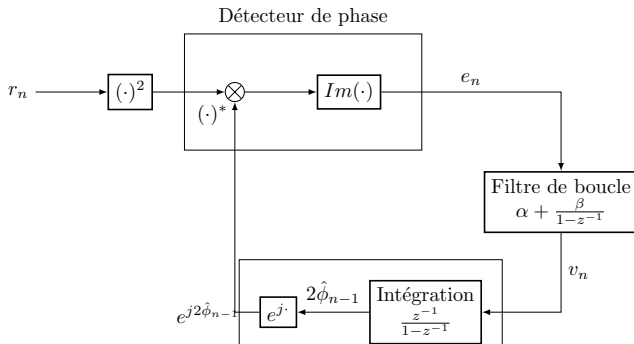
Dans ce cas, après filtrage adapté et échantillonnage au temps T_s

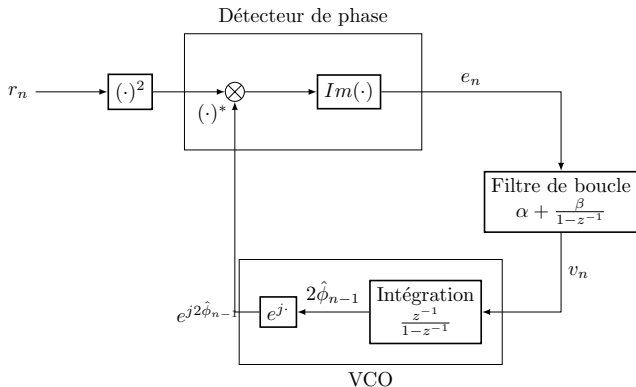
$$r_n^2 = (a_n e^{j\phi_n} + w_n)^2$$

D'où

$$r_n^2 = e^{2j\phi_n} + \tilde{w}_n$$

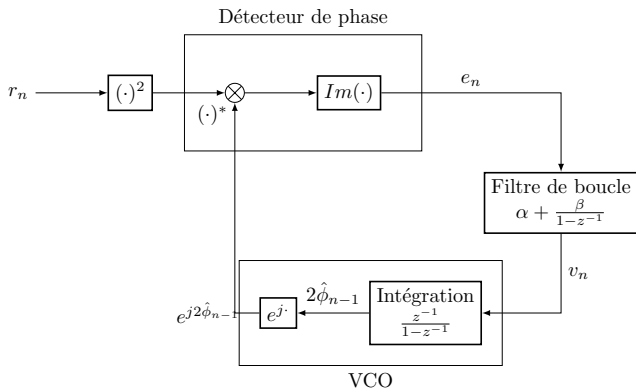
→ On peut récupérer $2\phi_n$ avec une PLL





Comment faire pour une M-PSK ?

$$a_n \in \left(1, e^{j\frac{2\pi}{M}}, e^{j\frac{4\pi}{M}} \dots e^{j\frac{2\pi(M-1)}{M}} \right)$$

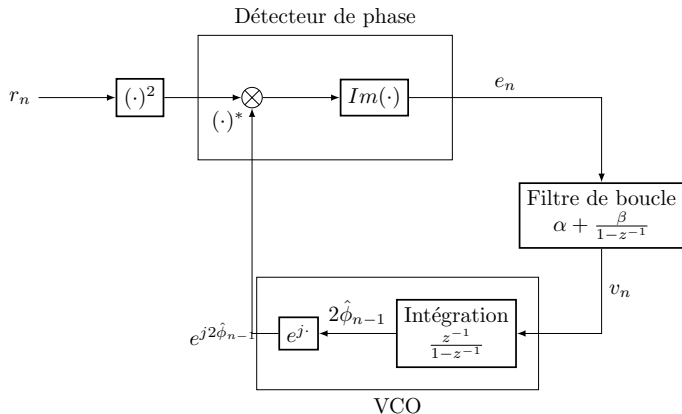


Comment faire pour une M-PSK ?

$$a_n \in \left(1, e^{j\frac{2\pi}{M}}, e^{j\frac{4\pi}{M}} \dots e^{j\frac{2\pi(M-1)}{M}} \right)$$

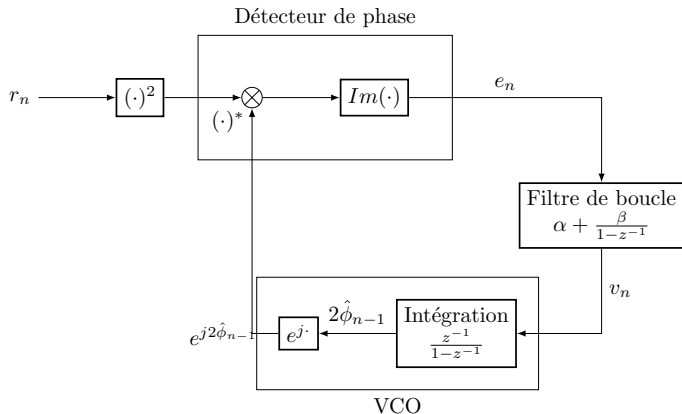
→ Méthode généralisable en élevant à la puissance M .

Boucle à quadrature



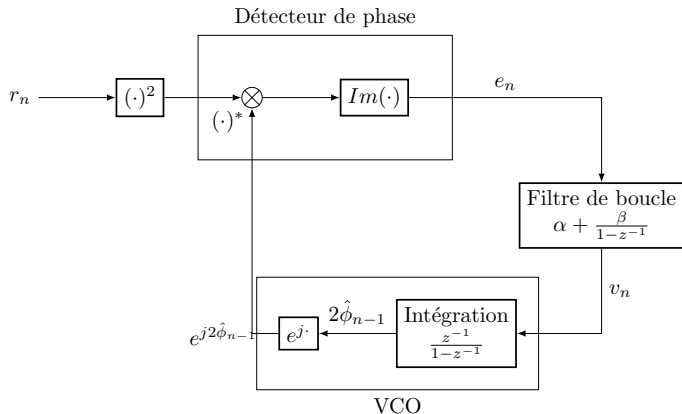
Quand la boucle est accrochée on a $\hat{\phi}_n = \phi_n \bmod \pi$

Boucle à quadrature



Quand la boucle est accrochée on a $\hat{\phi}_n = \phi_n \bmod \pi$
 \Rightarrow **ambiguïté sur la phase**

Boucle à quadrature



Quand la boucle est accrochée on a $\hat{\phi}_n = \phi_n \bmod \pi$

⇒ **ambiguïté sur la phase**

→ Solutions : **codage différentiel** ou **insertion de pilotes**

Boucles sur séquence d'apprentissage / à remodulation

- Les systèmes présentés jusqu'ici sont des estimateurs **aveugles**.
 - ⇒ Ils n'exploitent pas une éventuelle **séquence d'apprentissage**.
 - ⇒ Ils ont une ambiguïté de phase.

Boucles sur séquence d'apprentissage / à remodulation

- Les systèmes présentés jusqu'ici sont des estimateurs **aveugles**.
 - ⇒ Ils n'exploitent pas une éventuelle **séquence d'apprentissage**.
 - ⇒ Ils ont une ambiguïté de phase.

Soit une séquence d'apprentissage $\{a_n\}_{n=1\dots N}$, en sortie de filtre adapté, et échantillonnage on peut montrer que l'estimateur MV est le suivant.

$$\hat{\phi}_k = \arctan \frac{\sum_{n=0}^N \text{Im}(r_n a_n^*)}{\sum_{n=0}^N \text{Re}(r_n a_n^*)}$$

Boucles sur séquence d'apprentissage / à remodulation

- Les systèmes présentés jusqu'ici sont des estimateurs **aveugles**.
 - ⇒ Ils n'exploitent pas une éventuelle **séquence d'apprentissage**.
 - ⇒ Ils ont une ambiguïté de phase.

Soit une séquence d'apprentissage $\{a_n\}_{n=1\dots N}$, en sortie de filtre adapté, et échantillonnage on peut montrer que l'estimateur MV est le suivant.

$$\hat{\phi}_k = \arctan \frac{\sum_{n=0}^N \text{Im}(r_n a_n^*)}{\sum_{n=0}^N \text{Re}(r_n a_n^*)}$$

⇒ l'estimateur en ligne suivant :

$$\hat{\phi}_k = \hat{\phi}_{k-1} + \mu \text{Im}(r_k a_k^* e^{-j\hat{\phi}_{k-1}})$$

Plan

- 1 Contexte
- 2 Synchronisation en phase / fréquence
- 3 Synchronisation temporelle / récupération du rythme

Retour sur le signal reçu dans le cas mono-trajet BBAG en bande de base :

$$r_l(t) = \sum_{m=-\infty}^{+\infty} a_m h(t - \tau - mT_s) + w_l(t)$$

But : Estimer τ et $T_s \Leftrightarrow$ estimer les instants d'échantillonnage $mT_s + \tau_m$

Retour sur le signal reçu dans le cas mono-trajet BBAG en bande de base :

$$r_l(t) = \sum_{m=-\infty}^{+\infty} a_m h(t - \tau - mT_s) + w_l(t)$$

But : Estimer τ et $T_s \Leftrightarrow$ estimer les instants d'échantillonnage $mT_s + \tau_m$

Contexte :
On suppose que la synchronisation en fréquence/phase est réalisée

Approche avec séquence d'apprentissage

Retour sur le signal reçu en bande de base, en sortie du filtre adapté :

$$y_I(t) = \sum_{m=-\infty}^{+\infty} a_m g(t - \tau - mT_s) + w_I'(t)$$

Le critère considéré ici est le critère d'Erreur Quadratique Moyenne (EQM) :

$$J_{EQM}(\tau') = \mathbb{E} \left[|y_I(mT_s + \tau') - a_m|^2 \right]$$

Algorithme du Gradient Stochastique :

Approche avec séquence d'apprentissage

Retour sur le signal reçu en bande de base, en sortie du filtre adapté :

$$y_I(t) = \sum_{m=-\infty}^{+\infty} a_m g(t - \tau - mT_s) + w_I'(t)$$

Le critère considéré ici est le critère d'Erreur Quadratique Moyenne (EQM) :

$$J_{EQM}(\tau') = \mathbb{E} \left[|y_I(mT_s + \tau') - a_m|^2 \right]$$

Algorithme du Gradient Stochastique :

$$\tau_{m+1} = \tau_m - \mu \left. \frac{d}{d\tau'} |y_I(mT_s + \tau') - a_m|^2 \right|_{\tau' = \tau_m}$$

Approche avec séquence d'apprentissage

Algorithme du Gradient Stochastique (suite) :

$$\tau_{m+1} = \tau_m - \mu \operatorname{Re} \left(\left. \frac{d}{dt} y_l(t) \right|_{t=mT_s + \tau_m} [y_l(mT_s + \tau_m) - a_m]^* \right)$$

En théorie : La dérivée du signal reçu est obtenue à partir de la formule d'interpolation de Shannon.

Approche avec séquence d'apprentissage

Algorithme du Gradient Stochastique (suite) :

$$\tau_{m+1} = \tau_m - \mu \operatorname{Re} \left(\left. \frac{d}{dt} y_l(t) \right|_{t=mT_s + \tau_m} [y_l(mT_s + \tau_m) - a_m]^* \right)$$

En théorie : La dérivée du signal reçu est obtenue à partir de la formule d'interpolation de Shannon.

En pratique : On utilise une estimation par différence finie (à deux points).

Approche sans séquence d'apprentissage

Idée générale : le signal $r_l(t)$ est **cyclostationnaire** de période T_s

⇒ on applique une non-linéarité à $r_l(t)$ qui fait apparaître des composantes sinusoïdales aux fréquences $\frac{k}{T_s}$

⇒ on récupère $1/T_s$ avec une PLL

Exemple de non-linéarité :

$$\mathbb{E} \left[|r_l(t)|^2 \right] = \sigma_a^2 \sum_{m=-\infty}^{+\infty} |g(t - mT_s - \tau)|^2 + \sigma^2$$

Approche sans séquence d'apprentissage

Décomposition en série de Fourier de $\mathbb{E} [|r_l(t)|^2]$:

$$\mathbb{E} [|r_l(t)|^2] = \sum_k c_k e^{j2\pi kt/T_s}$$

avec

$$\begin{aligned} c_k &= \frac{1}{T} \int_0^T \mathbb{E} [|r_l(t)|^2] e^{-j2\pi kt/T_s} dt \\ &= \frac{\sigma_a^2}{T} e^{-j2\pi \frac{k\tau}{T_s}} \int_{-\infty}^{\infty} G(f)G^*(t - \frac{k}{T_s}) df + \sigma^2 \delta(k) \end{aligned}$$

Remarques

- Généralement, $c_k = 0$ pour $k > 1$, en effet le filtre de mise en forme possède généralement une bande passante incluse dans $[-\frac{1}{T_s}, \frac{1}{T_s}]$
- Roll-off faible $\Rightarrow |c_1| = |c_{-1}|$ faible

Approche sans séquence d'apprentissage

Remarque (suite)

On obtient finalement

$$\mathbb{E} \left[|r_l(t)|^2 \right] = c_0 + c_1 e^{j2\pi \frac{t}{T_s}} + c_{-1} e^{j2\pi \frac{t}{T_s}}$$

En supposant que $g(t)$ est paire on a

$$\mathbb{E} \left[|r_l(t)|^2 \right] = c_0 + |c_1| \cos\left(2\pi \frac{t - \tau}{T_s}\right)$$

Donc

$$|r_l(t)|^2 = c_0 + |c_1| \cos\left(2\pi \frac{t - \tau}{T_s}\right) + w_l''(t)$$

$\Rightarrow c_0$ est enlevé via filtrage passe haut/bande

$\Rightarrow \tau/T_s$ estimés avec une PLL

Contact : Romain Tajan

- THE END -